

基于量子计算的部分子结构和光锥分布振幅的 研究

报告人: 李天胤 (from QUNU Collaboration)

华南师范大学

2022/8/10



目录

- ① 研究动机
- ② 量子计算背景知识
- 3 国内外研究综述
- 4 基于量子计算对强子部分子纵向结构的研究
- ⑤ 基于量子计算对强子光锥分布振幅 (LCDAs) 的研究
- 6 总结和展望

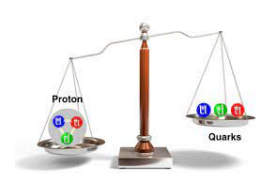
研究动机

人们认识质子的历史

- 1919 年卢瑟福发现质子
- 1964 年盖尔曼提出质子 的夸克模型
- 1969 年费曼提出质子的部分子模型
- ...

目前为止仍存在的问题

• 质子质量起源问题



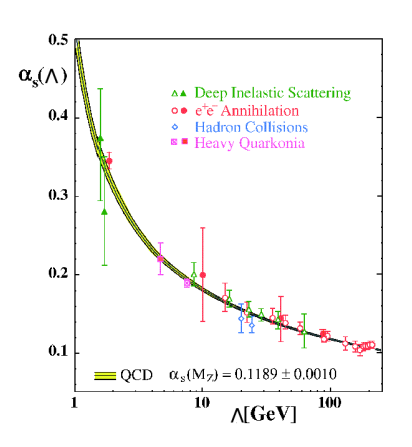
• 质子自旋分解问题



• ...



研究动机



- QCD 在低能标时是强耦合 理论。
- 目前格点 QCD 是非微扰的 重要方法, 但仍有sign problem, 无法模拟时间演 化等问题。
- 我们需要新的方法,如量子 计算的方法。

图 1: QCD 跑动耦合常数.[1]

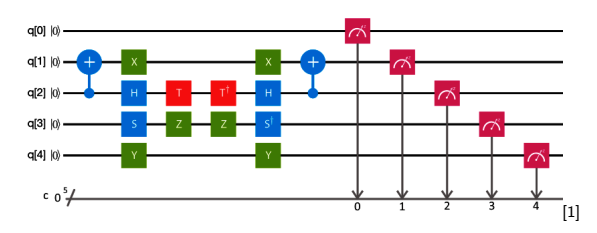
[1] S. Bethke, Prog.Part.Nucl.Phys. 58, 351 (2007), hep-ex/0606035.

量子计算背景知识

- 量子比特 可把量子比特看作自旋, $|0\rangle$ 为自旋向上 $|1\rangle$ 为自旋向下。N 量子比特计算机的计算基矢为: $|i_1,...,i_N\rangle$, $i_1,...,i_N=0,1$.
- 量子门
 - 单量子比特门: 泡利算符 X, Y, Z, H 门 $H|0\rangle(|1\rangle) = \frac{1}{\sqrt{2}}(|0\rangle + (-)|1\rangle)...$
 - 两量子比特门: 控制非门或称控制 X (CNOT) 门:
 CNOT |00 > (|01 >) = |00 > (|01 >), CNOT |10 > (|11 >) = |11 > (|10 >)
 - 单量子比特门和 CNOT 门为通用量子门。
 - 所有量子门都必须是幺正的。

量子计算背景知识

量子线路 一个量子线路由初始输入态,一系列的量子门以及输出端的 测量来组成。



- 测量。只需对 σ^z ,进行多次测量。
- 量子计算机模拟粒子物理问题的优势: 轻松解决含时问题 及符号问题(sign problem)!

 $[1]\ https://towardsdatascience.com/what-is-a-quantum-circuit-transpiler-ba9a7853e6f9$



国内外研究综述

 Stephen P Jordan, Keith SM Lee, and John Preskill,
 "Quantum computation of scattering in scalar quantum field theories," arXiv preprint arXiv:1112.4833 (2011).

$$G_{\text{weak}} = \begin{cases} \left(\frac{1}{\varepsilon}\right)^{1.5 + o(1)}, d = 1\\ \left(\frac{1}{\varepsilon}\right)^{2.376 + o(1)}, d = 2\\ \left(\frac{1}{\varepsilon}\right)^{3.564 + o(1)}, d = 3 \end{cases}$$
 (1)

 Henry Lamm, Scott Lawrence, Yukari Yamauchi, NuQS Collaboration, et al., "Parton physics on a quantum computer," Physical Review Research 2, 013272 (2020).

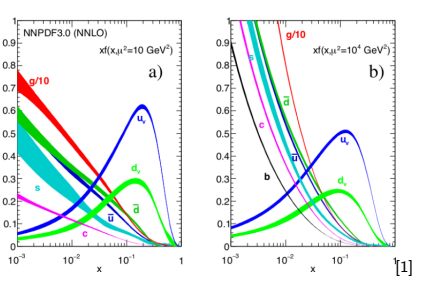
国内外研究综述

- Tianyin Li, Xingyu Guo, Wai Kin Lai, Xiaohui Liu, Enke Wang, Hongxi Xing, Dan-Bo Zhang, and Shi-Liang Zhu, "Partonic structure by quantum computing," Phys. Rev. D 105, L111502 (2022), arXiv:2106.03865 (2021).
- Christian W Bauer, Benjamin Nachman, and Marat Freytsis, "Simulating collider physics on quantum computers using effective field theories," Physical review letters 127, 212001 (2021).
- D.-B. Zhang, H. Xing, H. Yan, E. Wang, and S.-L. Zhu, Chin. Phys. B 30, 020306 (2021), arXiv:2011.014.
- C. W. Bauer et al., Quantum Simulation for High Energy Physics, 2204.03381.

基于量子计算对强子部分子纵向结构的研究 纵向非极化部分子分布函数

- 纵向非极化部分子分布函数 (PDFs) $f_{i/h}(x, Q^2)$ 被定义为在标度 Q^2 下,在强子 h 中找到一个部分子 i 且该部分子纵向动量占质子的纵向动量的份额为 x 的概率密度。
- PDFs 的算符定义 [2]:

$$f_{i/h}(x) = \int \frac{d\mathbf{y}^{-}}{4\pi} e^{-ix\mathbf{P}^{+}\mathbf{y}^{-}} \left\langle h | \bar{\psi}(0, \mathbf{y}^{-}) \gamma^{+} W(\mathbf{y}^{-}, 0) \psi(0, 0) | h \right\rangle.$$



[1] http://nnpdf.mi.infn.it/nnpdf3-0/. [2] John Collins Foundations of perturbative QCD

基于量子计算对强子部分子纵向结构的研究 如何获得 PDFs

- 通过对实验数据做全局分析可获得。
- 通过格点 QCD 的方法可获得,如 (LAMET).[1]
- 利用量子计算机模拟的方法得到。

[1] X. Ji, Phys. Rev. Lett. 110, 262002 (2013), arXiv:1305.1539

基于量子计算对强子部分子纵向结构的研究

NJL 模型

• NJL 模型的拉格朗日量 [1]

$$\mathscr{L} = \bar{\psi}_{\alpha} (i \gamma^{\mu} \partial_{\mu} - m_{\alpha}) \psi_{\alpha} + g(\bar{\psi}_{\alpha} \psi_{\alpha})^{2}, \qquad (2)$$

 Staggered fermion 离散化 [2]+Jodarn-Wigner 变换 [3] 后的哈密顿量 H = H₁ + ... + H₄

$$H_{1} = \sum_{\alpha} \sum_{n=\text{even}}^{\frac{N}{2}-1} \frac{1}{4} \left(\sigma_{\alpha,n}^{2} \sigma_{\alpha,n+1}^{1} - \sigma_{\alpha,n}^{1} \sigma_{\alpha,n+1}^{2} \right)$$

$$H_{2} = \sum_{\alpha} \sum_{n=\text{even}}^{\frac{N}{2}-1} \frac{g}{2} \sigma_{\alpha,n}^{3} \sigma_{\alpha,n+1}^{3} + \sum_{\alpha,\beta} H_{\text{int},\alpha\beta},$$

$$H_{3} = H_{1} (n = \text{even} \rightarrow n = \text{odd}) + H_{B}$$

$$H_4 = \sum_{\alpha} \sum_{n=0}^{\frac{N}{2}-1} \frac{m_{\alpha}}{2} (-1)^n (I - \sigma_{\alpha,n}^3) - \frac{g}{2} (I - \sigma_{\alpha,n}^3),$$
 (3)

[1] Y. Nambu and G. Jona-Lasinio, Phys. Rev. 122, 345 (1961). [2] John B. Kogut, The lattice gauge theory

approach to quantum chromodynamics [3] S. Backens, A. Shnirman, and Y. Makhlin, Scientific Reports 9 (2019).



基于量子计算对强子部分子纵向结构的研究 NJL 模型的 PDF

J-W 变换之后的部分子分布函数

$$f_{q_{\alpha}/h} = \sum_{\mathbf{z}} \frac{1}{4\pi} e^{-i\mathbf{x}M_h \mathbf{z}} D_{\alpha}(\mathbf{z}), \qquad (4)$$

其中

$$D_{\alpha}(z) = \sum_{i,j=0}^{1} \langle h | e^{iHz} \phi_{\alpha,-2z+i}^{\dagger} e^{-iHz} \phi_{\alpha,j} | h \rangle .$$
 (5)

我们需要

- 在量子计算机上制备强子态。
- 一个在量子计算机上计算动力学两点关联函数的量子算法。

基于量子计算对强子部分子纵向结构的研究 在量子计算机上计算 PDF 的量子算法 (Phys.Rev.D 105 (2022) 11, L111502)

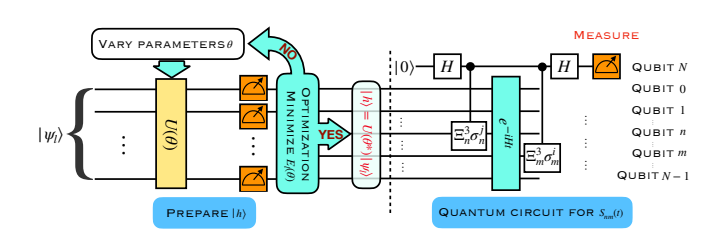


图 2: 在量子计算机上计算 PDFs 的量子线路。

- 虚线左边为制备强子态的量子算法。
- 虚线右边为计算强子态下光锥两点关联函数算法。[1]
- 输入为与目标强子量子数相同的简单态;输出为光锥上的关联函数。

[1] J. S. Pedernales, R. Di Candia, I. L. Egusquiza, J. Casanova, and E. Solano, Phys. Rev. Lett. 113, 020505

(2014).

基于量子计算对强子部分子纵向结构的研究 ^{强子态的制备}

- 把哈密顿量分成H = H₁ + ... + H_n且满足两个条件。
- 若目标强子态 $|h\rangle$ 是具有量子数 I 的第 k 激发态,我们需要 k个具有与目标强子态具有相同量子数且相互正交的简单输入态 $|\psi_{Ik}\rangle_{ref}$ (Dicke 态)[1]

•
$$U(\theta) \equiv \prod_{i=1}^{p} \underbrace{\left(\prod_{j=1}^{n} \exp(i\,\theta_{ij}H_{j})\right)}_{\text{one layer}}$$

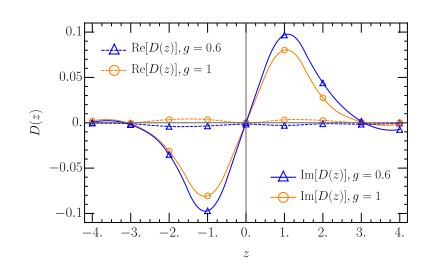
- 最小化目标函数 $E_l(\theta) = \sum_{i}^k w_{li} \langle \psi_{li}(\theta) | H | \psi_{li}(\theta) \rangle_{[2]}$, 其中 w_{li} 满足 $w_{l1} > w_{l2} > \cdots > w_{lk}$. 寻求最优参数 θ^*
- 制备强子态 $|h\rangle = U(\theta^*) |\psi_{li}(\theta)\rangle$.

[1] A. B"artschi and S. Eidenbenz, Deterministic preparation of dicke states.



基于量子计算对强子部分子纵向结构的研究

NJL 模型 $|q\bar{q}\rangle$ 态夸克 PDF 结果



3: Quark field correlation function D(z).

3 4: The quark PDF $f_q(x)$.

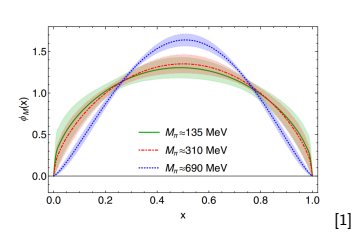
- $f_q(x) = -f_{\bar{q}}(-x)$ 在减去真空图后成立 [1]
- Re[D(z)] = 0 可得 $f_q(x) = -f_q(-x)$. 因此对于 $q\bar{q}$ 有 $f_{\bar{q}}(x) = f_q(x)$.
- x = 0.5 处有一峰,定性符合 lattice QCD 的 pion PDFs. [2]

[1] John Collins Foundations of perturbative QCD. [2] Y. Jia, S. Liang, X. Xiong, and R. Yu, Phys. Rev. D.

基于量子计算对强子 LCDAs 的研究 介子 LCDAs 的定义

- 介子 LCDA $\phi_{\pi}(x,\mu)$ 可被看作在标度 μ 下,在一个高速运动的介子中找到一对 $q\bar{q}$ 且 q 占介子纵向动量份额为 x, \bar{q} 占介子纵向动量份额为 1-x 的概率振幅函数。
- 介子 LCDA 的算符定义

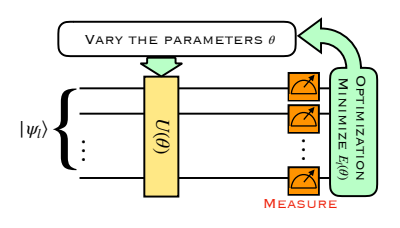
$$\phi(\mathbf{x}) = \frac{1}{f} \int d\mathbf{z} \, e^{-i(\mathbf{x} - 1)\mathbf{n} \cdot P\mathbf{z}} \, \langle \Omega | \, \bar{\psi}(\mathbf{z}\mathbf{n}) \gamma^+ W(\mathbf{z}\mathbf{n}, 0) \psi(0) \, | \, h(P) \rangle \ . \tag{6}$$

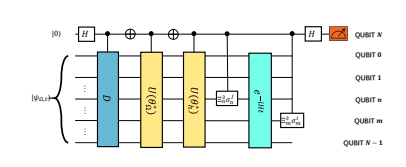


[1] R. Zhang, C. Honkala, H.-W. Lin, and J.-W. Chen, Phys. Rev. D 102, 094519 (2020),

基于量子计算对强子 LCDAs 的研究

在量子计算机上计算 LCDAs 的量子算法 (e-Print: 2207.13258)





• NJL 模型的 LCDA

$$\phi(\mathbf{x}) = \sum_{\mathbf{z}} \frac{1}{4\pi} e^{-i(\mathbf{x}-1)M_{h}\mathbf{z}} \tilde{\phi}(\mathbf{z}) ,$$

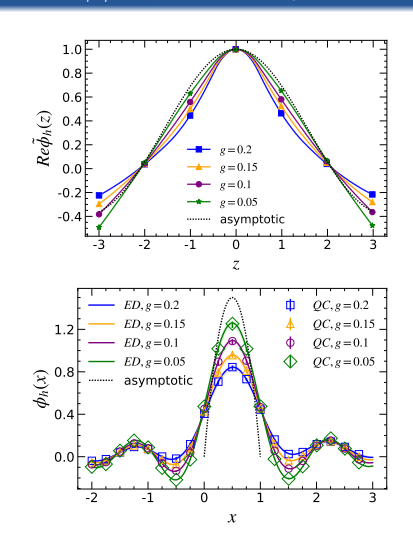
$$\tilde{\phi}(\mathbf{z}) = \sum_{i,j=0}^{1} \langle \Omega | e^{iH\mathbf{z}} \phi_{-2\mathbf{z}+i}^{\dagger} e^{-iH\mathbf{z}} \phi_{j} | \mathbf{h} \rangle .$$
(7)

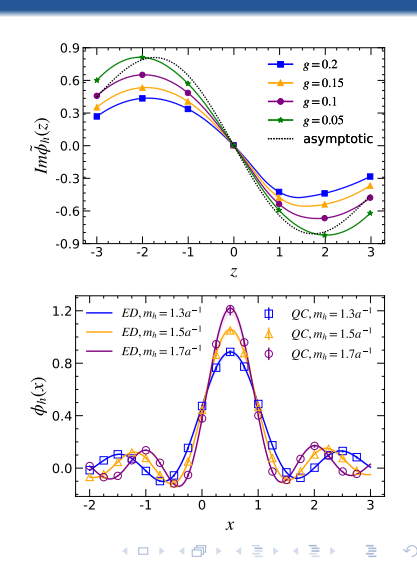
• 左图: 制备强子态。

• 右图: 计算左矢真空, 右矢强子态的"左右矢不对称"关联函数。

基于量子计算对强子 LCDAs 的研究

NJL 模型 |h> 强子 LCDAs 结果





总结与展望 ^{总结}

- 在基于量子计算对强子部分子纵向研究的课题中,我们首次 提出了一整套系统的直接从算符定义出发计算强子共线非极 化 PDFs 的方法,并且利用了 18 个量子比特经典计算机模 拟的量子计算机计算了 NJL 模型的夸克 PDF,得到定性上 与 lattice QCD 相符的结果。
- 基于量子计算对强子 LCDAs 的研究,我们首次提出了可以 在量子计算机上模拟强子的 LCDAs,给出了做该模拟所需 量子线路,并利用了 14 个量子比特经典计算机模拟量子计 算机计算了 NJL 模型的强子 LCDAs,得到了定性上与 lattice QCD 相符的结果。

总结与展望 ^{展望}

• 部分子碎裂函数 (parton Fragmentation Functions)

- Helicity PDFs
- TMDs
- 核态的 PDFs
- ..